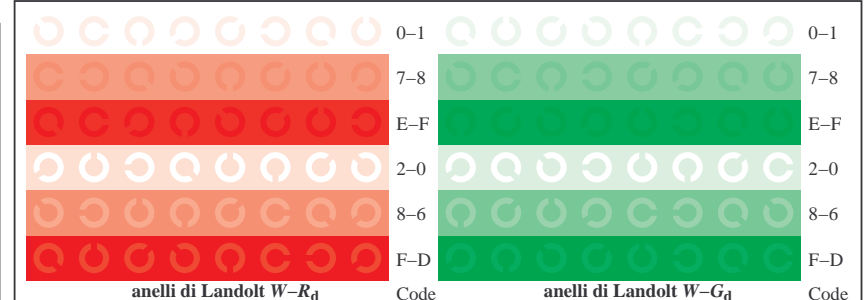


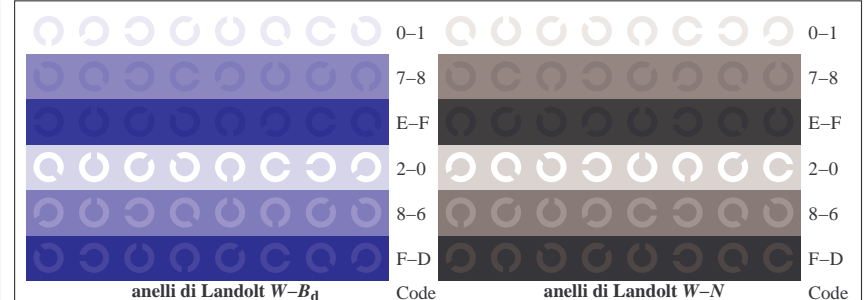
TI881-1, Fig. D4Wd: 16 equidistante passi $W-R_d; W-G_d; W-B_d; W-N$; $rgb/cmy0 \rightarrow rgb_d$ setrgbcolor

+-.:		lmno		pqr&		tuvw	
xyz;		hijk		lmno		pqr&	
tuvw		defg		hijk		lmno	
pqrs		!abc		+-.:		xyz;	
lmno		+-.		tuvw		defg	
hijk		xyz;		!abc		!abc	
defg		pqrs		6		N	
!abc		8		N		R_d G_d B_d Z	
10		N		R_d G_d B_d Z			

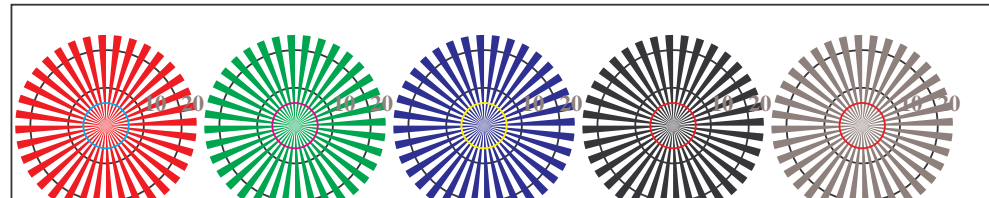
TI881-3, Fig. D5Wd: codice i Landolt anelli $N; R_d; G_d; B_d; Z$; PS operator: $rgb \rightarrow rgb_d$ setrgbcolor



TI881-5, Fig. D6Wd: anelli di Landolt $W-R_d; W-G_d$; PS operator: $rgb \rightarrow rgb_d$ setrgbcolor



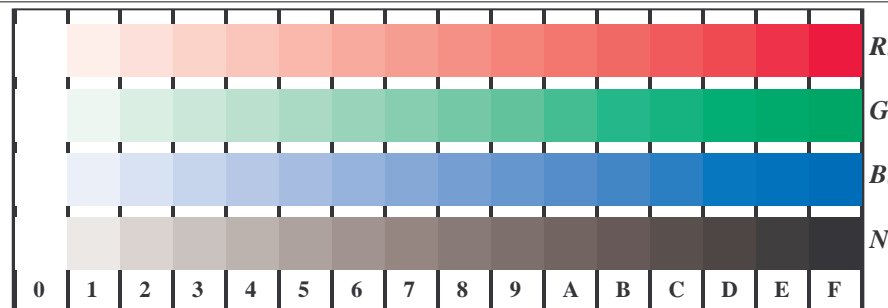
TI881-7, Fig. D7Wd: anelli di Landolt $W-B_d; W-N$; PS operator: $rgb \rightarrow rgb_d$ setrgbcolor



TI880-5, Fig. D2Wd: reticolli radiali $W-R_d; W-G_d; W-B_d; W-N$; PS operator: $rgb \rightarrow rgb_d$ setrgbcolor



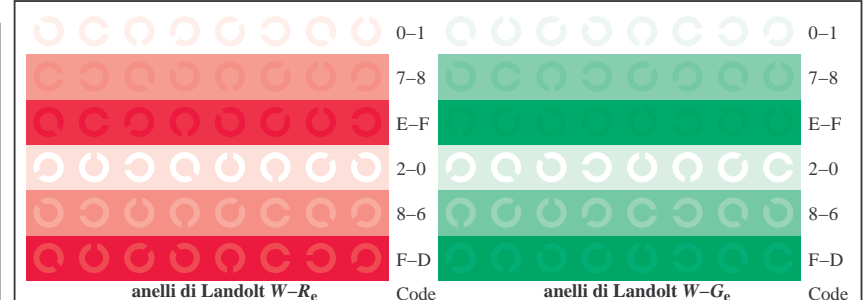
TI880-7, Fig. D3Wd: 14 prova colori CIE i 2 + 16 grigio passi (sf); PS operator: $rgb/cmy0 \rightarrow rgb_d$ setrgbcolor



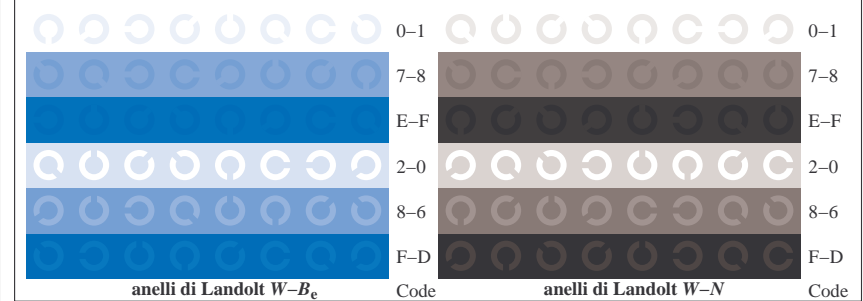
TI881-1, Fig. D4We: 16 equidistante passi $W-R_e; W-G_e; W-B_e; W-N$; $rgb/cmy0 \rightarrow rgb_e$ setrgbcolor

+-.:	Q O O Q C	lmno	C O C O C	pqr	O O O O O	tuvw	O O O O O
xyz;	O O O C O	hijk	O C O C O	lmno	O O O O O	pqrs	O O O O O
tuvw	O O O C O	defg	O O C O C	hijk	O O O O O	lmno	O O O O O
pqrs	O O O C O	!abc	O O C O C	+-.:	O O O O O	defg	O O O O O
lmno	O O O C O	+-.:	O O C O C	xyz;	O O O O O	!abc	O O O O O
hijk	C O O C O	tuvw	O O C O C	tuvw	O O O O O	xyz;	O O O O O
defg	O O O C O	pqrs	O O C O C	defg	O O O O O	defg	O O O O O
!abc	O O O C O	pqrs	O O C O C	!abc	O O C O C	!abc	O O O O O
10	N R _e G _e B _e Z	6	N R _e G _e B _e Z	8	N R _e G _e B _e Z	4	N R _e G _e B _e Z

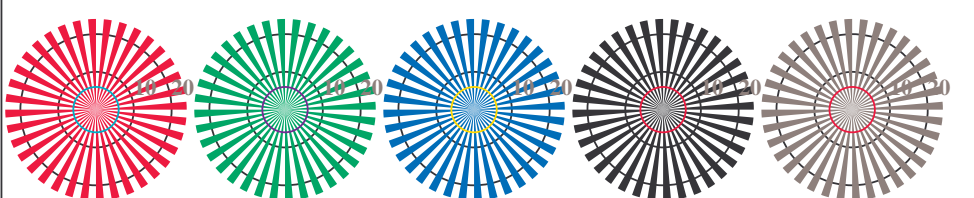
TI881-3, Fig. D5We: codice i Landolt anelli $N; R_e; G_e; B_e; Z$; PS operator: $rgb \rightarrow rgb_e$ setrgbcolor



TI881-5, Fig. D6We: anelli di Landolt $W-R_e; W-G_e$; PS operator: $rgb \rightarrow rgb_e$ setrgbcolor



TI881-7, Fig. D7We: anelli di Landolt $W-B_e; W-N$; PS operator: $rgb \rightarrow rgb_e$ setrgbcolor

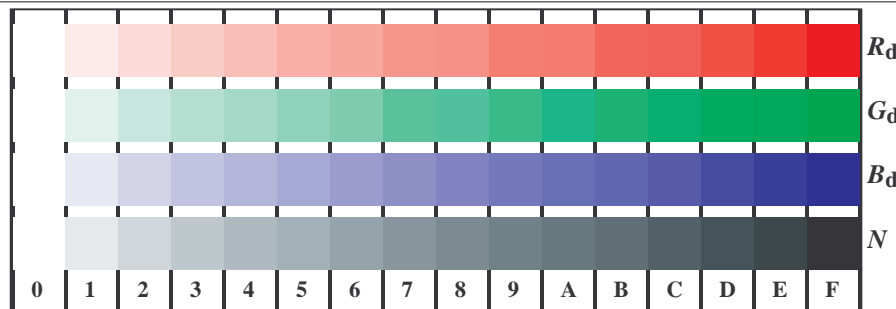


reticolli radiali $W-R_e$ reticolli radiali $W-Ge$ reticolli radiali $W-Be$ reticolli radiali $W-N$ reticolli radiali $W-Z$

TI880-5, Fig. D2We: reticolli radiali $W-R_e; W-Ge; W-Be; W-N$; PS operator: $rgb \rightarrow rgb_e$ setrgbcolor



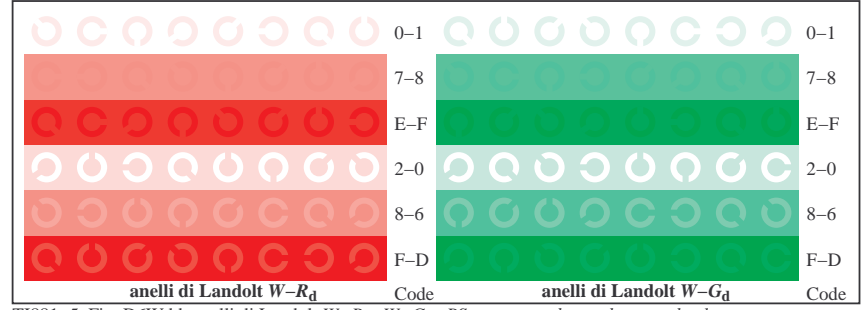
TI880-7, Fig. D3We: 14 prova colori CIE i 2 + 16 grigio passi (sf); PS operator: $cmy0 \rightarrow rgb_e$ setrgbcolor



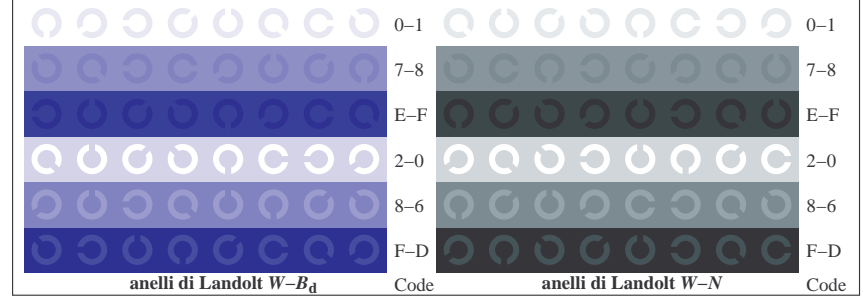
TI881-1, Fig. D4Wdd: 16 equidistant steps $W-R_d$; $W-G_d$; $W-B_d$; $W-N$; $rgb/cmy0 \rightarrow rgb_{dd}$ setrgbcolor

+-.:	Q O C Q C	lmno	C O C C O	pqrs	O O O O	tuvw	O O O O
xyz;	O O C O C	hijk	O C C O C	lmno	O O O O	pqrs	O O O O
tuvw	O O C O C	defg	O O C C O	hijk	O O O O	lmno	O O O O
pqrs	O O C O C	!abc	O O C C O	+-.:	O O O O	hijk	O O O O
lmno	O O C O C	+-.:	O O C C O	xyz;	O O O O	+-.:	O O O O
hijk	C C C O C	tuvw	O O C C O	defg	O O O O	!abc	O O O O
defg	O O C C C	pqrs	O O C C O	6 N R_d G_d B_d Z			
!abc	O O C C C	10 N R_d G_d B_d Z		8 N R_d G_d B_d Z			

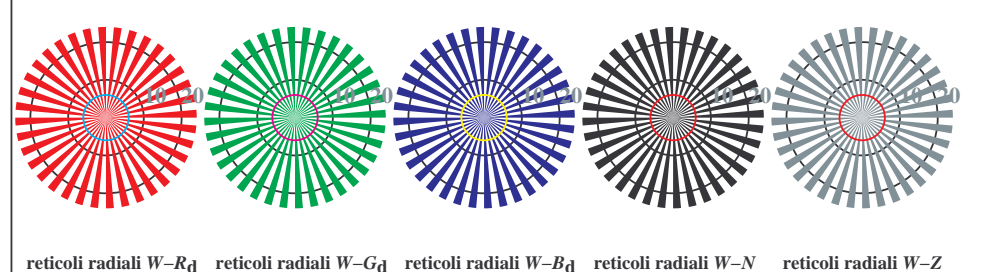
TI881-3, Fig. D5Wdd: codice i Landolt anelli N ; R_d ; G_d ; B_d ; Z ; PS operator: $rgb \rightarrow rgb_{dd}$ setrgbcolor



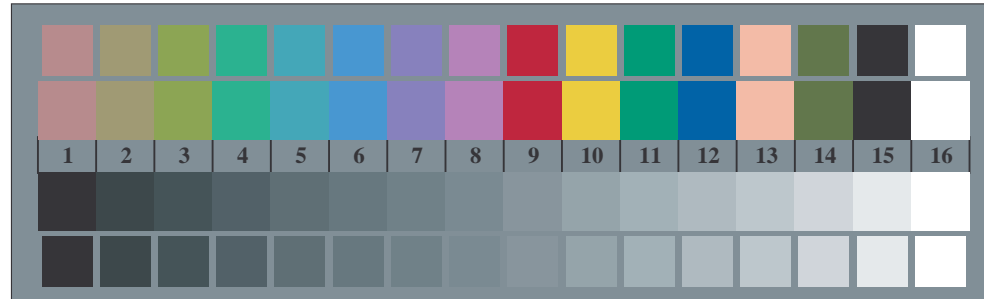
TI881-5, Fig. D6Wdd: anelli di Landolt $W-R_d$; $W-G_d$; PS operator: $rgb \rightarrow rgb_{dd}$ setrgbcolor



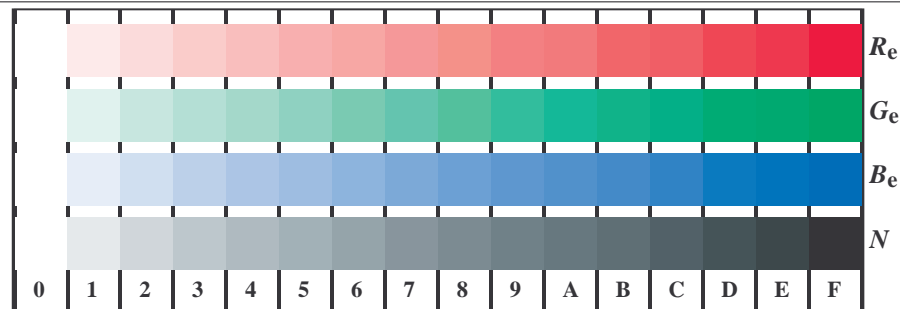
TI881-7, Fig. D7Wdd: anelli di Landolt $W-B_d$; $W-N$; PS operator: $rgb \rightarrow rgb_{dd}$ setrgbcolor



TI880-5, Fig. D2Wdd: reticolli radiali $W-R_d$; $W-G_d$; $W-B_d$; $W-N$; PS operator: $rgb \rightarrow rgb_{dd}$ setrgbcolor



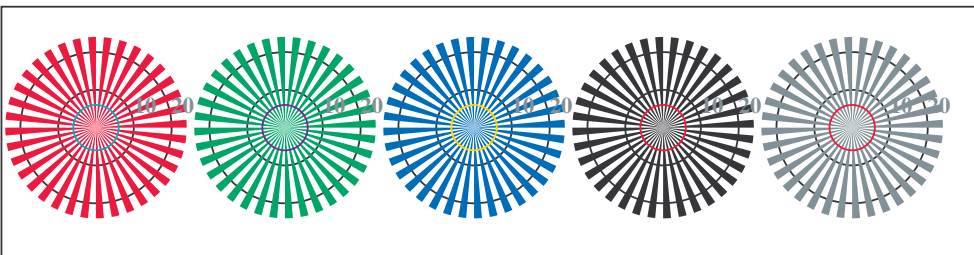
TI880-7, Fig. D3Wdd: 14 prova colori CIE i 2 + 16 grigio passi (sf); PS operator: $rgb/cmy0 \rightarrow rgb_{dd}$ setrgbcolor



TI881-1, Fig. D4Wde: 16 equidistante passi $W-R_e; W-G_e; W-B_e; W-N$; $rgb/cmy0 \rightarrow rgb_{de}$ setrgbcolor

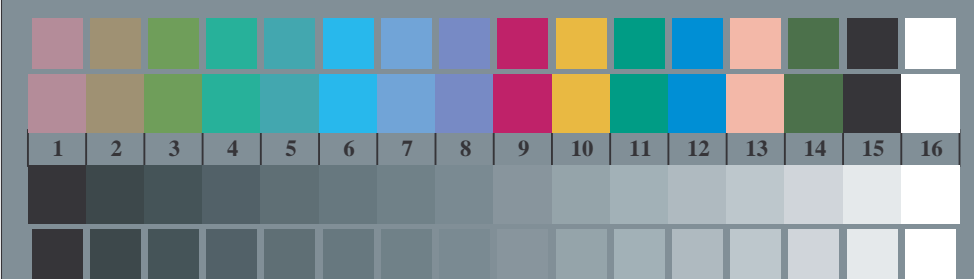
+-.:		lmno		pqrs		tuvw	
xyz;		hijk		lmno		pqrs	
tuvw		defg		hijk		lmno	
pqrs		!abc		+-.:		xyz;	
lmno		+-.		tuvw		defg	
hijk		xyz;		!abc		6 N	
defg		pqrs		8 N		R_e G_e B_e Z	
!abc		10 N					

TI881-3, Fig. D5Wde: codice i Landolt anelli N ; R_e ; G_e ; B_e ; Z ; PS operator: $rgb \rightarrow rgb_{de}$ setrgbcolor

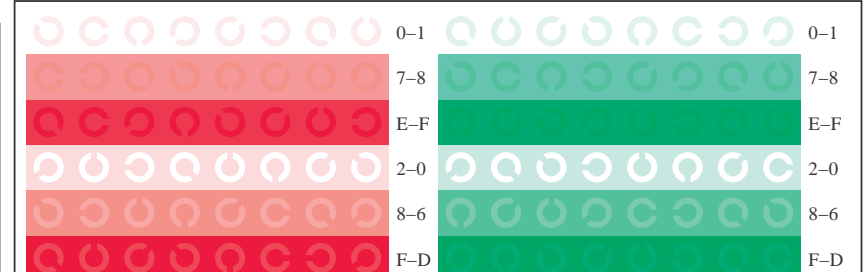


reticolli radiali $W-R_e$ reticolli radiali $W-G_e$ reticolli radiali $W-B_e$ reticolli radiali $W-N$ reticolli radiali $W-Z$

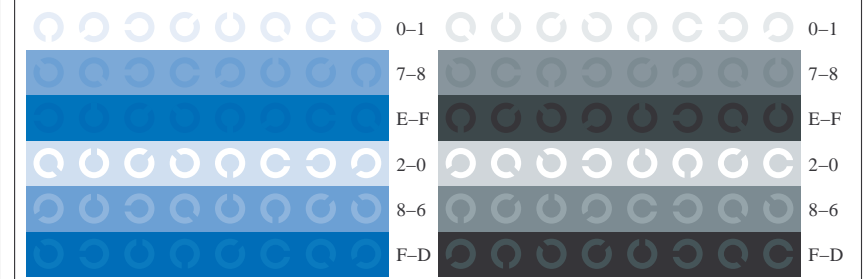
TI880-5, Fig. D2Wde: reticolli radiali $W-R_e$; $W-G_e$; $W-B_e$; $W-N$; PS operator: $rgb \rightarrow rgb_{de}$ setrgbcolor



TI880-7, Fig. D3Wde: 14 prova colori CIE i 2 + 16 grigio passi (sf); PS operator: $cmy0 \rightarrow rgb_{de}$ setrgbcolor



TI881-5, Fig. D6Wde: anelli di Landolt $W-R_e$; $W-G_e$; PS operator: $rgb \rightarrow rgb_{de}$ setrgbcolor



TI881-7, Fig. D7Wde: anelli di Landolt $W-B_e$; $W-N$; PS operator: $rgb \rightarrow rgb_{de}$ setrgbcolor